

روشی جدید برای افزایش عامل دار شدن الکتروشیمیایی گرافن با استفاده از فعال کننده سطحی

علی حسنی، مجید بنی‌آدم* و مرتضی مغربی

گروه مهندسی شیمی دانشکده مهندسی، دانشگاه فردوسی مشهد

(دریافت مقاله: ۱۳۹۴/۰۶/۲۳ - دریافت نسخه نهایی: ۱۳۹۵/۰۲/۱۵)

DOI: 10.18869/acadpub.jame.35.4.27

چکیده — فرایند لایه‌برداری الکتروشیمیایی جزء متداولترین روش‌هایی است که به منظور تولید گرافن استفاده می‌شود، اما جدا شدن ذرات چند لایه از گرافن در این روش مانع رسیدن به گرافن با خواص واقعی می‌شود. در این پژوهش برای اولین بار افزایش لایه‌برداری توسط یک فعال کننده سطحی جدید به نام ستیل آمونیوم کلراید و تأثیر این ماده بر مقدار گرافن لایه‌برداری شده و مقدار گروه عاملی در آن مورد بررسی قرار گرفته است. برای تعیین مشخصات محصولات از آزمون‌های رسانایی‌سنگی، توزین، میکروسکوپی الکترونی عبوری (TEM) و طیف‌سنگی جذبی مرئی - فرابنفش استفاده شد. بر اساس نتایج، حضور فعال کننده سطحی ستیل تری‌متیل آمونیوم کلراید در حلal، مقدار خوردنگی از الکترود را کاهش می‌دهد و باعث افزایش لایه‌برداری می‌شود، گرچه فراتر از غلظت بحرانی تشکیل مایسل این فعال کننده سطحی، وزن لایه‌برداری کاهش می‌باید.

واژگان کلیدی: لایه‌برداری، گرافن، گروه عاملی، فعال کننده سطحی

Novel Approach for Electrochemical Functionalization of Graphene with Surfactant

A. Hasani, M. Baniadam* and M. Maghrebi

Department of Chemical Engineering, Faculty of Engineering, Ferdowsi University of Mashhad

Abstract: The electrochemical exfoliation of graphite via intercalation is one of the attractive methods to obtain graphene. However, presence of coarse graphite particles in product is the drawback of this method. In this research, the effect of adding cetyl trimethyl ammonium chloride (CTAC), on the amount of exfoliated graphene and functional groups was studied. Transmission electron microscopy, weighing, UV-vis spectroscopy and electrical conductivity were used for characterization of the products. According to results, presence of this surfactant decreases the erosion, while it increases the exfoliation of graphene flakes. However, after critical micelle concentration (CMC) of the surfactant, exfoliated weight decreased.

Keywords: Exfoliation, Graphene, Surfactant, Functional group

* مسئول مکاتبات پست الکترونیکی: baniadam@um.ac.ir

۱- مقدمه

این صورت با افزایش فعال کننده سطحی می‌توان لایه‌برداری را بهبود بخشید.

در این پژوهش تاثیر فعال کننده سطحی ستیل تری متیل آمونیوم کلراید بر مقدار گرافن لایه‌برداری شده و گروه عاملی در آن‌ها با در نظر گرفتن غلظت بحرانی تشکیل مایسل بررسی شده است. این فعال کننده سطحی دارای زنجیر مولکولی بزرگی است و می‌تواند گرینه خوبی برای میانه‌نهی باشد. از طرف دیگر، در سایر کارهای مشابه تا به حال از آن استفاده نشده و برای اولین بار در این پژوهش به کار گرفته شده است. برای تعیین مشخصات گرافن سنتز شده از آزمون‌های تیتراسیون، طیف‌سنجی جذبی مرئی- فرابنفش، رسانایی‌سنجی و روش میکروسکوپی الکترونی عبوری استفاده شده است.

۲- مواد و روش‌ها

در این پژوهش از الکترودهای گرافیتی با خلوص بالای ۹۰ درصد، وزن ۲۵ گرم، طول و عرض به ترتیب ۹ و ۱ سانتی‌متر و سولفوریک اسید به عنوان الکتروولیت استفاده شد. در پژوهش‌های مشابه صورت گرفته، زمان تقریبی واکنش ۱۵ دقیقه است و اختلاف پتانسیل اعمال شده به سل الکتروشیمیایی نیز معمولاً از ۱۵ ولت بیشتر نیست [۱۲، ۱۳]. در این فرایند از یک بشر ۱۵۰ میلی‌لیتری، شامل دو الکترود گرافیتی، به عنوان ظرف واکنش استفاده شد که الکترودها به فاصله ۲۰ میلی‌متری از یکدیگر (فاصله استاندارد) قرار داده شدند. هم‌چنین در زمان انجام فرایند، سل واکنش بهوسیله فولی آلومینیم پوشانده شد تا تأثیر عوامل محیطی تا حد امکان کاهش یابد و شرایط آزمایش برای هر مرحله یکسان باشد. شکل ۱، طرحواره‌ای از سل الکتروشیمیایی ساخته شده در این پژوهش است.

برای شروع آزمایش، الکترودهای گرافیتی به عنوان آند و کاتد در ۱۰۰ میلی‌لیتر سولفوریک اسید به مدت ۱۵ دقیقه در اختلاف پتانسیل‌های ۱/۹، ۵، ۹، ۱۲ و ۱۳/۶ ولت قرار داده شدند. در این پژوهش سعی شده برای بررسی تأثیر توان بر

نازک‌ترین و مستحکم‌ترین ماده‌ای که تا کنون شناخته شده، ورقه‌ای دو بعدی از اتم‌های کربن به نام گرافن است [۱]. گرافن انعطاف‌پذیری، هدایت گرمایی و رسانایی بالای دارد [۲] و در ساخت حسگرهای شیمیایی، فیلم‌های شفاف رسانا برای سلول‌های خورشیدی و کامپوزیت‌های با مقاومت بالا به کار می‌رود [۳]. هر چقدر تعداد لایه‌های گرافن کم باشد، خواص آن بیشتر نمود دارد و ارزشمندتر است [۴، ۵]. بهمین دلیل روش‌هایی که بتوان با آن‌ها گرافن کم لایه و در مقیاس بالا تولید کرد دارای اهمیت‌اند. لایه‌برداری الکتروشیمیایی جزو روش‌های بالا به پایین سنتز گرافن است که در مقایسه با سایر روش‌ها نه تنها ارزان‌تر بلکه مقدار تولید گرافن آن نیز بیشتر است [۶]. هم‌چنین با انواع حلال‌ها، انواع گرافیت و در دمای اتاق نیز انجام‌پذیر است [۷].

مشکلی که لایه‌برداری الکتروشیمیایی دارد، جدا شدن ذرات درشت از الکترود گرافیتی است. ونگ چنگ و همکارانش نشان دادند که هر چقدر اختلاف انرژی سطحی حلال و گرافن کاهش یابد، ذرات ریزتری از الکترود لایه‌برداری می‌شوند [۸، ۹]. یکی از راه‌های کاهش انرژی سطحی حلال، استفاده از فعال کننده سطحی است که از یک طرف با کاهش انرژی سطحی حلال، منجر به جدا شدن ذرات ریزتر گرافیت می‌شود و از طرف دیگر فعال کننده‌های سطحی منفرد بین ذرات گرافیت میانه‌نهی و باعث لایه‌برداری بیشتر گرافن می‌شود [۱۰].

در کاری مشابه، آلان یالی اوغلو و همکاران، با استفاده از محلول ۰/۱ مولار فعال کننده سطحی آنیونی سدیم دودسیل‌سولفات، لایه‌برداری الکتروشیمیایی انجام دادند [۱۱]. در کار آن‌ها به غلظت بحرانی تشکیل مایسل اشاره نشده است که این خود از انتقادات وارد به کار آن‌هاست. چه بسا غلظتی که از فعال کننده سطحی استفاده شده است مربوط به نقطه بحرانی تشکیل مایسل آن باشد. از طرف دیگر، ممکن است با غلظت تشکیل مایسل فاصله زیادی داشته باشد که در

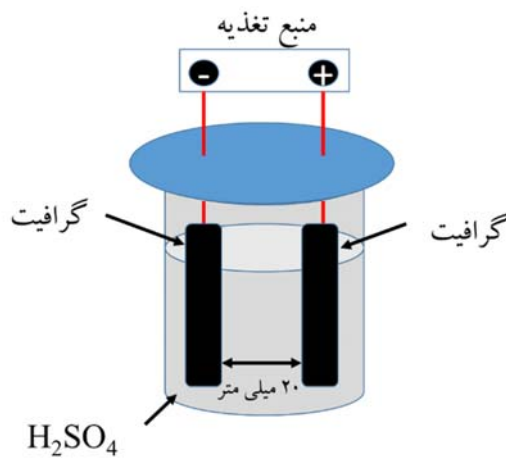
این متغیر، کافی است محصول بعد از سانتریفیوژ توزین شود. لازم به ذکر است که مدت زمان و دور سانتریفیوژ بر اساس استاندارد کارهای مشابه تعیین شده است [۱۷].

۳- نتایج و بحث

یکی از متغیرهای مهم مورد بررسی در لایه‌برداری الکتروشیمیایی گرافیت، توان ورودی به سل است. از طرفی در هر مرحله از اعمال اختلاف پتانسیل‌های مختلف، تغییرات جریان و ولتاژ یکسان نیستند [۱۸]. برای اینکه هم تغییرات ولتاژ و هم تغییرات جریان لحظه شود، حاصل ضرب آن‌ها یعنی توان برای هر مرحله در نظر گرفته می‌شود. به این ترتیب توان ورودی به سل الکتروشیمیایی بیانگر تغییرات ولتاژ و جریان در طول فرایند است (شکل ۲).

با توجه به شکل ۲، با افزایش اختلاف پتانسیل، توان نیز افزایش می‌یابد. هم‌چنین در اختلاف پتانسیل‌های ۱۲، ۹ و ۱۳/۶ ولت با گذشت زمان، توان ورودی به سل الکتروشیمیایی بیش‌تر می‌شود. مطابق آنچه که بحث شد، با اعمال اختلاف پتانسیل بیش‌تر، جریان نیز بیش‌تر می‌شود و در نتیجه توان افزایش می‌یابد. از طرف دیگر، در ولتاژهای ۱۲، ۹ و ۱۳/۶ ولت با گذشت زمان، انرژی ورودی به سل الکتروشیمیایی صرف تخریب ساختار الکترود نیز می‌شود. بنابراین دلیل افزایش توان در ولتاژهای بالا در طول واکنش، این است که سیستم علاوه بر لایه‌برداری، برای تخریب الکترود نیز به انرژی نیاز دارد.

یکی از اهداف افزودن فعال کننده سطحی، ستیل تری‌متیل آمونیوم کلراید به الکترولیت سولفوریک اسید، کاهش مقدار کل خوردگی در طول فرایند الکتروشیمیایی است [۱۹]. چراکه کاهش خوردگی ذرات درشت از گرافیت، می‌تواند بیانگر این باشد که فرایند بیش‌تر به سمت لایه‌برداری گرافن کم لایه تا تخریب الکترود می‌رود [۲۰]. به همین منظور، نمودار وزن خورده شده بر حسب توان ورودی در غلظت‌های مختلف از فعال کننده سطحی رسم شده است (شکل ۳).

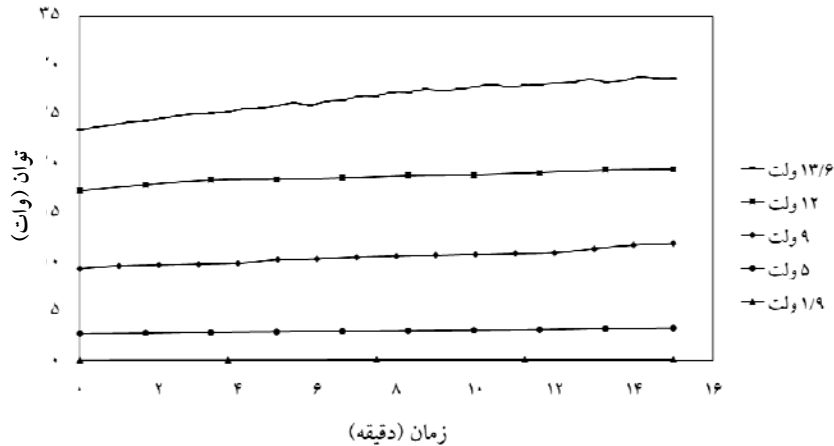


شکل ۱- طرحواره سل الکتروشیمیایی ساخته شده

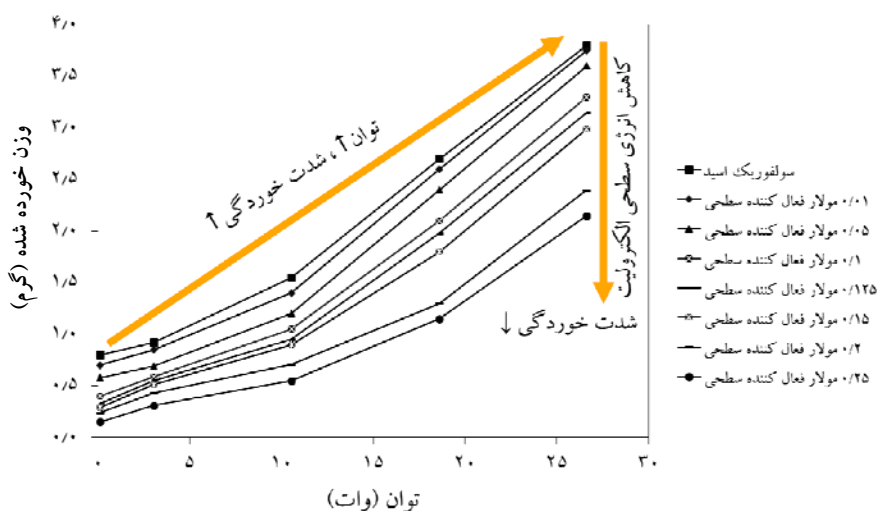
لایه‌برداری الکتروشیمیایی، بازه بین بیشینه و کمینه ولتاژ پوشش داده شود. از طرفی، در کارهای مشابه معمولاً با تغییر ۳ تا ۴ واحدی اختلاف پتانسیل، تغییرات محسوسی در مکانیزم واکنش و خواص محصولات مشاهده شده است [۱۴، ۱۵]. بر این اساس، بازه‌های انتخاب شده در این کار، بین بیشترین و کمترین ولتاژ، به نحوی است که با کارهای مشابه مطابقت داشته باشد.

با توجه به اینکه تاکنون این فعال کننده سطحی در لایه‌برداری الکتروشیمیایی گرافیت استفاده نشده است، اطلاعاتی از غلظت مناسب بکارگیری آن در دسترس نیست. به همین دلیل از غلظت فعال کننده‌های سطحی مشابه به کار رفته در سایر کارها الگوبرداری شد [۱۶].

برای مقایسه کمی مقدار گرافن سنتز شده در توان‌های مختلف، دو متغیر وزن خورده شده و وزن لایه‌برداری شده تعریف شد. بر این اساس وزن خورده شده عبارت از وزن همه ذرات جدا شده از الکترود گرافیتی است و برای اندازه‌گیری این متغیر، وزن سل الکتروشیمیایی قبل و بعد از واکنش محاسبه و اختلاف آن‌ها به عنوان وزن خورده شده معروفی می‌شود. هم‌چنین، وزن لایه‌برداری شده ذراتی هستند که پس از سه بار عملیات سانتریفیوژ، هر بار به مدت ۱۰ دقیقه با چرخش ۴۰۰۰ دور بر دقیقه، پایدار می‌مانند و ته نشین نمی‌شوند. برای محاسبه



شکل ۲- تغییرات توان ورودی به سل الکتروشیمیایی با گذشت زمان



شکل ۳- تغییرات وزن خورده شده نسبت به توان ورودی به سل الکتروشیمیایی در غلظت‌های مختلف از فعال کننده سطحی ستیل تری متیل آمونیوم کلراید

زمانی که از سولفوریک اسید به عنوان الکتروولیت استفاده می‌شود، با افزایش توان ورودی به سل، یون‌ها با میانه‌نهی گروهی، گرافیت را بیشتر تخریب می‌کنند و در نتیجه وزن خورده شده افزایش می‌یابد. این روند با افزودن فعال کننده سطحی به الکتروولیت نیز مشاهده می‌شود و نسبت به زمانی که از سولفوریک اسید به تنهایی استفاده می‌شود، تغییر چندانی نمی‌کند. هم‌چنان، افزایش شبیه تغییرات وزن خورده شده بعد از ۱۰/۵ وات را می‌توان به تغییر مکانیزم، از لایه‌برداری سطحی

با توجه به شکل ۳، افزایش توان ورودی به سل الکتروشیمیایی در هر غلظتی از ستیل تری متیل آمونیوم کلراید در سولفوریک اسید، وزن خورده شده نیز افزایش می‌یابد. از طرفی، بعد از توان ۱۰/۵ وات، شبیه تغییرات وزن خورده شده بیشتر می‌شود. علاوه بر این، با افزایش غلظت فعال کننده سطحی تا غلظت ۱۵/۰ مولار، خوردگی به تدریج کمتر می‌شود، اما اضافه کردن غلظت از ۱۵/۰ تا ۰/۲ مولار، منجر به افت بیشتری در وزن خورده شده می‌شود.

اینکه وزن خورده شده در غلظت $2/0$ مولار از فعال کننده سطحی باشد بیشتری کاهش می‌یابد، می‌تواند عدم نفوذ عمقی حلال و جدا نشدن ذرات درشت گرافیت باشد.

نوتلی در پژوهشی تأثیر افزودن فعال کننده سطحی به مخلوط حلال و گرافیت را بررسی کرده است [۲۳]. در کار او، فعال کننده سطحی به طور پیوسته به ظرف حاوی حلال و ذرات گرافیت، در حین عملیات فراصوت اضافه می‌شود. در نتیجه افزودن فعال کننده سطحی، انرژی سطحی حلال کاهش می‌یابد و با نفوذ سطحی به ذرات گرافیت، مقدار گرافن بیشتری لایه‌لایه می‌شوند. نوتلی این کار را با فعال کننده سطحی آنیونی، کاتیونی و غیر یونی نیز بررسی کرده است که نتیجه یکسانی برای آن‌ها به دست آمده است [۲۴].

مطابق نتایج شکل ۳، با اضافه کردن ستیل تری متیل آمونیوم کلراید به سولفوریک اسید، از شدت خورده شدن گرافیت کاسته شد. این نتیجه می‌تواند یک گام مثبت در تولید گرافن با تعداد لایه کم باشد [۲۵]. اما آنچه که می‌تواند میزان موفقیت این آزمایش را دقیق‌تر نشان دهد، وزن لایه‌برداری شده است، چرا که این متغیر مربوط به ذرات ریز گرافنی است که با توجه به پایداری و اندازه آن‌ها حتی با سانتریفیوژ هم تهشیش نمی‌شوند. برای بررسی اینکه افزودن فعال کننده سطحی، علاوه بر کاستن از وزن خورده شده، چه تأثیری بر وزن لایه‌برداری شده دارد، نمودار تغییرات این دو وزن بر حسب هم در شکل ۴ و ۵ رسم شده است.

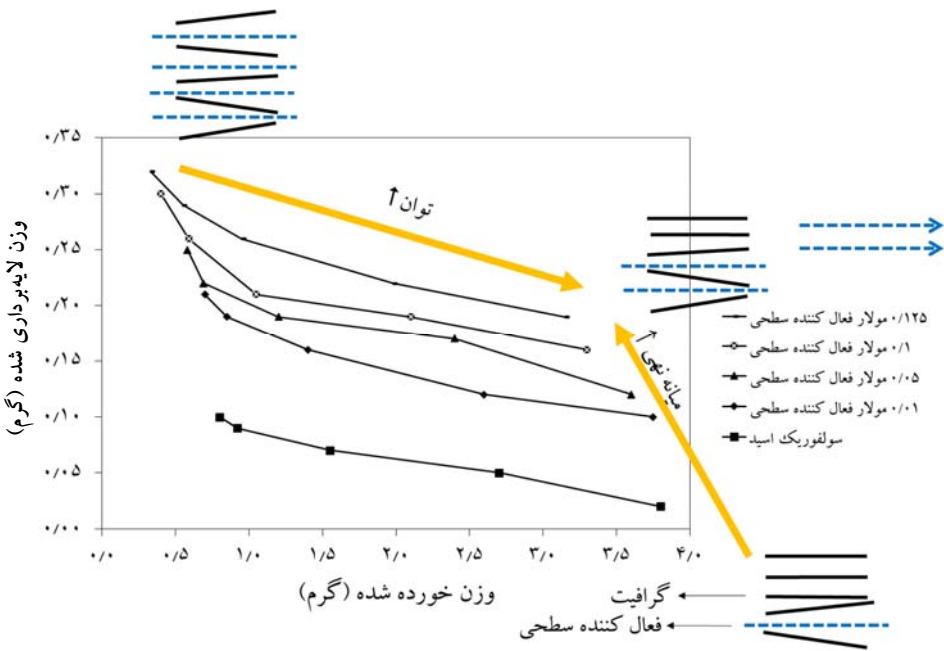
با توجه به شکل ۴، با افزایش توان ورودی به سل، وزن خورده شده نیز بیشتر می‌شود، در حالی‌که وزن لایه‌برداری شده کاهش می‌یابد. در طرف مقابل، در توان‌های پایین، عکس این قضیه اتفاق می‌افتد، یعنی از وزن خورده شده کاسته و لایه‌برداری بیشتر می‌شود. علاوه بر این با افزایش غلظت ستیل تری متیل آمونیوم کلراید نیز لایه‌برداری بیشتر و وزن خورده شده کمتر می‌شود. هم‌چنین با افزایش غلظت فعال کننده سطحی، شب تغییرات وزن لایه‌برداری شده بر حسب وزن خورده شده، افزایش می‌یابد. از طرفی، افزایش توان

به تخریب گرافیت مرتبط دانست، چراکه تقریباً از این توان به بعد، تخریب الکترود مکانیزم غالب و وزن خورده شده به نسبت توان‌های پایین، بیشتر است.

بر اساس نتایجی که ونگ چنگ و همکاران [۹] ارائه کردند، اختلاف انرژی سطحی حلال و گرافن با شدت خورده‌گی رابطه مستقیم دارند. یعنی در یک مدت زمان معین، هر چقدر این اختلاف انرژی سطحی کاهش یابد، ذرات ریزتری از الکترود جدا می‌شوند. بر عکس، زمانی ذرات درشت گرافیت از الکترود کنده می‌شوند که اختلاف انرژی سطحی حلال و گرافن زیاد باشد. در این پژوهش نیز افزودن ستیل تری متیل آمونیوم کلراید به عنوان فعال کننده سطحی، انرژی سطحی حلال را کاهش می‌دهد و اختلاف آن با انرژی سطحی گرافن را کمتر می‌کند. بنابراین اضافه کردن غلظت فعال کننده سطحی، باعث می‌شود در یک مدت زمان معین ذرات ریزتر گرافن از گرافیت جدا شوند و وزن خورده شده کاهش یابد.

در غلظت‌های کم از فعال کننده سطحی، اختلاف انرژی سطحی حلال و گرافن زیاد است و در نهایت با جدا شدن ذرات درشت گرافیت، وزن خورده شده بیشتری حاصل می‌شود. هم‌چنین می‌توان اینگونه استدلال کرد که در غلظت‌های کم فعال کننده سطحی، یعنی زمانی که انرژی سطحی حلال زیاد است، نفوذ بیشتری به داخل گرافیت دارد و در نتیجه ذرات درشت‌تری از الکترود جدا می‌شود [۲۱]. بنابراین در یک مدت زمان معین، وزن خورده‌گی بیشتر می‌شود. در طرف مقابل، با افزودن غلظت فعال کننده سطحی، انرژی سطحی حلال کمتر می‌شود و به صورت سطحی در گرافیت نفوذ می‌کند [۲۲]. به این ترتیب در مدت زمانی مشخص، با جدا شدن ذرات ریزتری از الکترود، وزن خورده شده کاهش می‌یابد.

در غلظت $2/0$ مولار از فعال کننده سطحی، انرژی سطحی حلال به اندازه‌ای کاهش یافته که نفوذ به داخل گرافیت و جدا شدن ذرات درشت انجام نمی‌شود، بلکه نفوذ سطحی حلال و خورده‌گی سطحی گرافیت، پدیده غالب است. بنابراین، دلیل



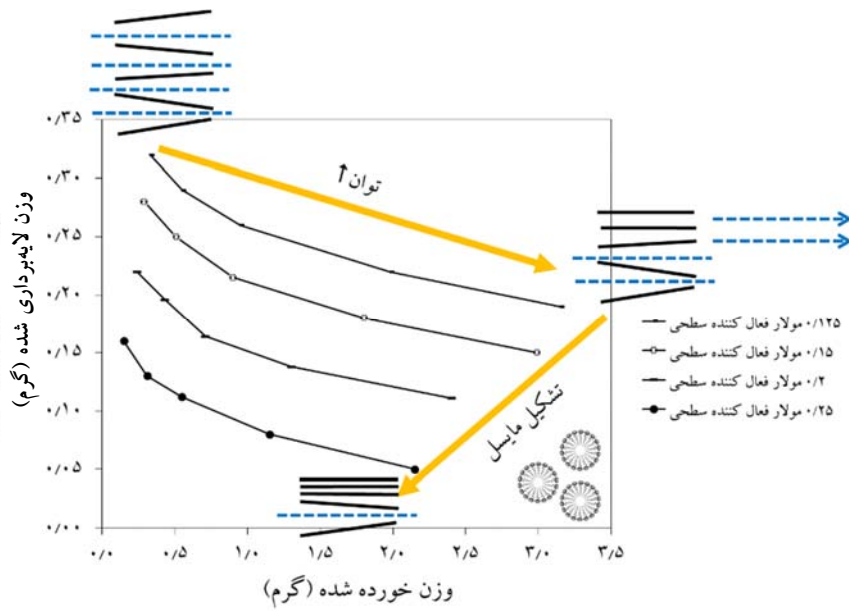
شکل ۴- تغییرات وزن لایه برداری شده نسبت به وزن خورده شده در غلظت صفر تا 0.125 مولار از فعال کننده سطحی ستیل تری متیل آمونیوم کلراید

بالا، دافعه بیشتری از آند دارد و از آن فاصله می‌گیرد. بنابراین فعال کننده سطحی کمتری به سمت آند می‌رود و بین ذرات گرافیت میانه‌نهی می‌شوند. پس با افزایش توان، لایه برداری به کمک فعال کننده سطحی کمتر می‌شود و وزن لایه برداری شده نیز کاهش می‌یابد. در توان‌های پایین، دافعه فعال کننده سطحی از آند کمتر است و فعال کننده سطحی بیشتری در لایه‌لایه شدن گرافیت شرکت می‌کنند. در نتیجه با کاهش توان، لایه برداری با فعال کننده سطحی بیشتر می‌شود و وزن لایه برداری شده افزایش می‌یابد.

در نتایج و بحث شکل ۴ مشاهده شد که افزایش غلظت ستیل تری متیل آمونیوم کلراید از صفر تا 0.125 مولار، باعث بهبود لایه برداری و در نتیجه افزایش وزن لایه برداری شده می‌شود. اما با توجه به شکل ۵، افزایش غلظت فعال کننده سطحی به بیش از 0.125 مولار، نه تنها لایه برداری را بیشتر نمی‌کند، بلکه باعث کاهش آن می‌شود. نکته‌ای که اینجا می‌توان مطرح کرد مربوط به غلظت بحرانی تشکیل مایسل است. غلظتی که در آن، فعال کننده‌های سطحی منفرد به هم متصل

وروودی منجر به میانه‌نهی گروهی یون‌ها، تخریب گرافیت و در نتیجه افزایش وزن خورده شده می‌شود. در توان‌های پایین، با میانه‌نهی انفرادی یون‌ها تخریب کم‌ترند و بنابراین وزن خورده‌گی کاهش می‌یابد.

طبق شکل ۵، زمانی که توان ورودی به سل الکتروشیمیایی بیشتر می‌شود، وزن خورده شده افزایش و لایه برداری شده کاهش می‌یابد. در حالی که در توان‌های پایین، وزن خورده شده کمتر و لایه برداری شده بیشتر می‌شود. علاوه بر این، با اضافه کردن غلظت فعال کننده سطحی از 0.25 تا 0.125 مولار، هم وزن خورده شده و هم لایه برداری شده کاهش می‌یابند. همانطور که در شکل ۴ نیز بحث شد، در توان‌های بالا، در اثر میانه‌نهی گروهی یون‌ها، گرافیت بیشتر تخریب و بنابراین وزن خورده شده بیشتر می‌شود. در توان‌های پایین، چون لایه برداری سطحی پدیده غالب است، تخریب کم‌تری اتفاق می‌افتد و در نتیجه وزن خورده شده کاهش می‌یابد. از طرفی، چون ستیل تری متیل آمونیوم کلراید یک فعال کننده سطحی کاتیونی است و لایه برداری در آند انجام می‌شود، در توان‌های



شکل ۵- تغییرات وزن لایهبرداری شده نسبت به وزن خورده شده در غلظت $0/25\%$ تا $0/125\%$ مولار از فعال کننده سطحی ستیل تری متیل آمونیوم کلراید

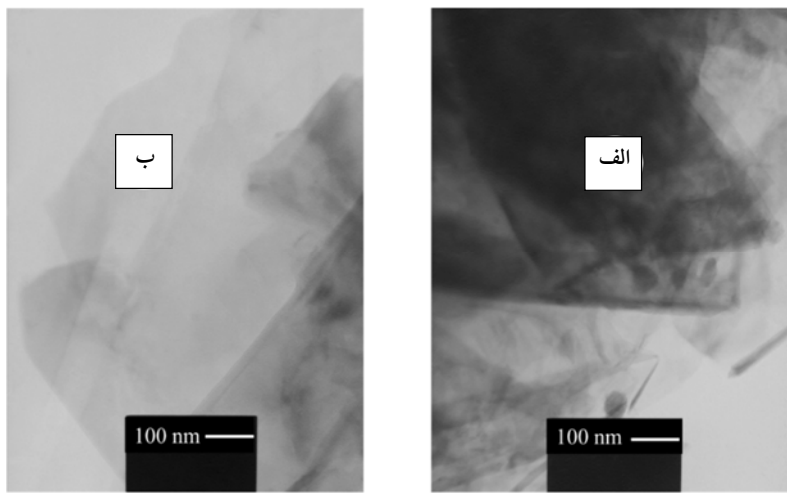
پژوهش به منظور بررسی تأثیر ستیل تری متیل آمونیوم کلراید بر لایهبرداری از گرافیت، تصاویر میکروسکوپی الکترونی عبوری (TEM) محصولات، با یکدیگر مقایسه شده است. تصویر TEM ذرات به دست آمده در الکتروولیت سولفوریک اسید (بدون فعال کننده سطحی) و ذرات حاصل از الکتروولیت با غلظت $0/25\%$ فعال کننده سطحی به ترتیب در شکل های ۶-الف و ۶-ب آمده است.

مطابق ناحیه ۱ از شکل ۶-الف، زمانی که تنها از سولفوریک اسید به عنوان الکتروولیت استفاده شد، ضخامت و تعداد لایه های گرافن، زیاد به نظر می رسد. از طرفی، مطابق ناحیه ۲ در شکل ۶-ب در الکتروولیت $0/125\%$ مولار ستیل تری متیل آمونیوم کلراید، ذرات گرافیت بیشتر لایه لایه و محصول نهایی شامل گرافن کم لایه و حتی تک لایه است. این نتیجه را می توان به حضور فعال کننده سطحی ربط داد، چرا که این مواد از یکسو با کاهش انرژی سطحی حلال، منجر به جدا شدن ذرات ریزتری از الکتروود می شوند [۲۹، ۳۰] و از سوی دیگر، فعال کننده های سطحی منفرد با میانه نهی بین ذرات

می شوند و مایسل تشکیل می دهند. به عبارتی با اضافه کردن فعال کننده سطحی بعد از این غلظت، مایسل های بیشتری شکل می گیرند.

برای ستیل تری متیل آمونیوم کلراید نیز دو غلظت بحرانی تشکیل مایسل $0/125\%$ و $0/2\%$ مولار تعریف شده است [۲۶]. به این ترتیب که افزایش غلظت به بیش از $0/125\%$ مولار، منجر به تشکیل مایسل های به اصطلاح کروی می شود. در غلظت های بیش از $0/2\%$ مولار، مایسل های کروی در کنار یکدیگر قرار می گیرند و مایسل های استوانه ای را تشکیل می دهند. بنابراین قبل از $0/125\%$ مولار، فعال کننده های سطحی منفرد در لایهبرداری شرکت می کنند و وزن لایهبرداری شده بیشتر می شود. از طرف دیگر، بعد از غلظت $0/125\%$ مولار، فعال کننده های سطحی بیشتر در تشکیل مایسل، تا در لایهبرداری شرکت می کنند. در نتیجه با افزایش غلظت به بیش از $0/125\%$ مولار، وزن لایهبرداری شده کمتر می شود.

ساخтар و تعداد لایه های گرافن حاصل شده می تواند مشخص کننده میزان موفقیت در لایهبرداری گرافن باشد [۲۷، ۲۸]. در این



شکل ۶- تصاویر میکروسکوپی الکترونی عبوری از گرافن تولید شده در (الف) سولفوریک اسید و (ب) غلظت $125\text{ }\mu\text{M}$ مولار ستیل تری متیل آمونیوم کلراید

می شود. هم چنین، وجود یک شانه در طول موج $350\text{ }\text{nm}$ در تمام منحنی ها مشخص است. علاوه بر این، با افزودن ستیل تری متیل آمونیوم کلراید، جذب اکسید گرافن تولید شده نیز بیشتر می شود. اما این افزایش جذب تا غلظت $125\text{ }\mu\text{M}$ مولار ادامه دارد و با اضافه کردن فعال کننده سطحی به بیش از $125\text{ }\mu\text{M}$ مولار، جذب نمونه های سنتز شده کاهش می یابد.

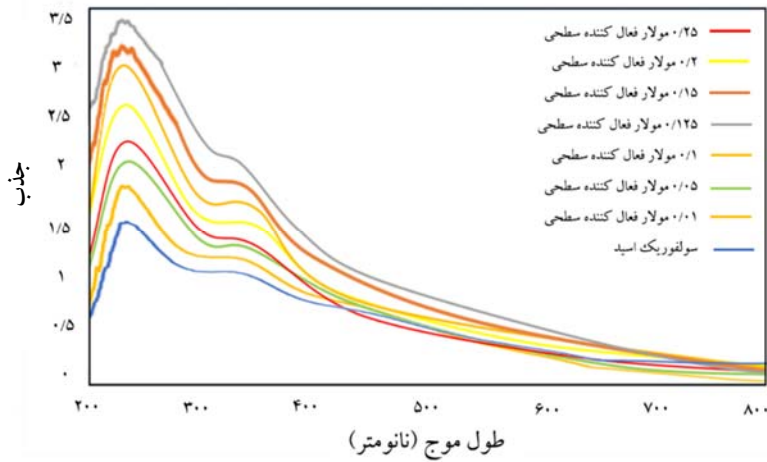
حضور فعال کننده سطحی تا غلظت $125\text{ }\mu\text{M}$ مولار، منجر به افزایش میانه نهی بین ذرات گرافیت و در نتیجه لایه برداری یا برش خورده کی بیشتر می شود. این اتفاق باعث اکسایش بیشتر گرافن می شود و پراکندگی آنها را افزایش می دهد. این افزایش پراکندگی با بیشتر شدن میزان جذب در شکل ۷ مشخص شده است.

به دلیل اینکه غلظت $125\text{ }\mu\text{M}$ مولار ستیل تری متیل آمونیوم کلراید، نقطه بحرانی تشکیل مایسل است، اضافه کردن فعال کننده سطحی به بیش از این غلظت منجر به شکل گیری مایسل می شود. در نتیجه میانه نهی کمتر می شود و به دنبال آن وزن لایه برداری کاهش می یابد. یعنی گروه های عاملی مکان محدود تری برای اتصال به گرافن دارند و اکسایش کمتر می شود. با کاسته شدن از گروه های عاملی، تمایل به پراکندگی کم می شود و میزان جذب مرئی - فرابنفس کاهش می یابد.

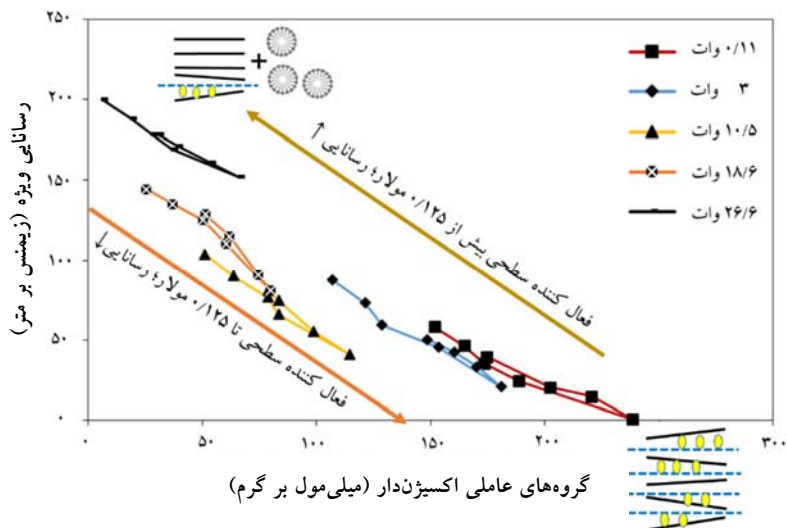
گرافیت لایه برداری را افزایش می دهند [۳۱]. میزان پراکندگی در یک حلال، جزء متداول ترین متغیرهای است که برای گرافن تعریف می شود [۳۲، ۳۳]. بر اساس این متغیر می توان درباره میزان لایه لایه شدن گرافیت بحث کرد، به این ترتیب که افزایش پراکندگی گرافن در حلال، نشان دهنده یک لایه برداری موفق است که طی آن ورقه های گرافن به خوبی از یکدیگر جدا شده اند. علاوه بر این، هر چقدر ذرات گروه های عاملی بیشتری داشته باشند، بیشتر پراکندگی می شوند و پایدار میمانند [۳۴].

در این بخش از آزمون طیفسنجی ناحیه مرئی - فرابنفس برای بررسی میزان پراکندگی گرافن استفاده شده است. با مشخص شدن میزان جذب نور هر نمونه گرافن در این آزمون، می توان درباره پراکندگی آنها اظهار نظر کرد. بیشتر بودن پراکندگی بیانگر لایه برداری بهتر و گروه عاملی بیشتر است. از طرفی لایه برداری نامطلوب و گروه عاملی کم، منجر به پراکندگی کمتر گرافن می شود. شکل ۷، نمودارهای جذب محصولات گرافن حاصل شده در کمترین توان ($11\text{ }\text{W}$) و در غلظت های مختلف فعال کننده سطحی است.

با در نظر گرفتن شکل ۷، در همه نمودارهای جذب، یک قله بیشینه در حدود طول موج $230\text{ }\text{nm}$ مشاهده



شکل ۷- (رنگی در نسخه الکترونیکی) نمودار جذب مرئی- فرابنفش اکسید گرافن سنتز شده در توان ۰/۱۱ وات و غلظت‌های مختلف فعال کننده سطحی ستیل‌تری‌متیل آمونیوم کلراید



شکل ۸- نمودار رسانایی الکتریکی بر حسب گروه‌های عاملی اکسیژن‌دار در توان‌ها و غلظت‌های مختلف ستیل‌تری‌متیل آمونیوم کلراید

رسانایی بر حسب گروه‌های عاملی اکسیژن‌دار، نمودار این دو متغیر در شکل ۸ رسم شده است. مطابق شکل ۸، کاهش توان ورودی به سل الکتروشیمیایی منجر به افزایش گروه عاملی اکسیژن‌دار و کاهش رسانایی می‌شود. در حالی که در توان‌های بالاتر، مقدار گروه عاملی کمتر می‌شود و به دنبال آن، رسانایی افزایش می‌یابد. علاوه بر این،

رسانایی یکی از آزمون‌هایی است که به کمک آن می‌توان درباره میزان لایه‌برداری و همچنین اکسایش گرافن بحث و بررسی کرد. در یکی از پژوهش‌های صورت گرفته در زمینه به کار گیری اکسید گرافن در حسگرهای گازی توسط باسو و همکاران [۳۵]، به نقش مهم گروه عاملی در تغییرات رسانایی گرافن اشاره شده است. در این پژوهش نیز برای بررسی

گرافن چند لایه، مکان کمتری برای قرار گرفتن گروههای عاملی فراهم و در نتیجه اکسایش ذرات کمتر می‌شود. به این ترتیب با حفظ یکپارچگی، برش خوردنگی و ایجاد نقص در ساختار این ذرات کاهش می‌یابد. از طرفی الکترون آزاد کمتری برای تشکیل پیوند با گروه عاملی به اشتراک گذاشته می‌شود. در نتیجه این عوامل، رسانایی نمونه‌ها افزایش می‌یابد.

۴- نتیجه‌گیری

افزودن ستیل تری‌متیل آمونیوم کلراید به عنوان فعال کننده سطحی، باعث کاهش وزن خورده شده و افزایش وزن لایه‌برداری شده می‌شود. به عبارتی مقدار کل لایه‌برداری تابعی از غلظت ستیل تری‌متیل آمونیوم کلراید در حلال است و با افزایش غلظت آن تا نقطه بحرانی تشکیل مایسل، برش خوردنگی یا لایه‌لایه شدن بیشتر می‌شود. در این کار با استفاده از فعال کننده سطحی وزن لایه‌برداری شده ۲/۲ برابر افزایش یافت. حضور ستیل تری‌متیل آمونیوم کلراید در لایه‌برداری موجب شد تا با ایجاد سطح تماس بیشتر، مقدار گروههای عاملی اکسیژن دار، ۵۷ درصد افزایش پیدا کند.

افزودن ستیل تری‌متیل آمونیوم کلراید تا غلظت ۱۲۵٪ مولار باعث افزایش گروه عاملی شده ولی رسانایی کمتر می‌شود. از طرف دیگر، در غلظت‌های بیش از ۱۲۵٪ مولار از فعل کننده سطحی، با کاهش گروه عاملی، رسانایی افزایش می‌یابد. در توانهای پایین، میانه‌نهی یون‌ها به صورت انفرادی و لایه‌برداری غالباً سطحی است. با افزایش لایه‌لایه شدن، سطح در دسترس بیشتری برای اتصال گروههای عاملی اکسیژن دار مهیا و بنابراین اکسایش بیشتر می‌شود. هم‌چنان، افزودن فعل کننده سطحی تا غلظت ۱۲۵٪ مولار، به لایه‌لایه شدن ذرات کمک می‌کند و با فراهم کردن سطح تماس بیشتر برای گروههای عاملی، مقدار آن‌ها روی صفحه‌های گرافن افزایش می‌یابد. این بدین معنی است که به منظور برقراری پیوند کربن با گروه عاملی، نه تنها در ورقه‌های گرافن برش ایجاد شده، بلکه الکترون آزاد اتم‌های کربن نیز درگیر شده‌اند. بنابراین با افزایش مقدار گروه عاملی، رسانایی کاهش می‌یابد. اعداد به دست آمده برای رسانایی اکسید گرافن، قبل مقایسه با اعداد این آزمون در پژوهش استانکوویچ و همکاران است که بر روی تولید ورقه‌های گرافن به وسیله کاهش شیمیایی اکسید گرافیت لایه‌برداری شده کار کردند [۳۶].

در توانهای بالا، به دلیل جدا شدن ذرات درشت گرافیت و

مراجع

- Low, C., and Walsh, F., "Chakrabarti, M., Hashim, M.A., and Hussain, M.A., Electrochemical Approaches to the Production of Graphene Flakes and their Potential Application", *Carbon*, Vol. 54, pp. 1-21, 2013.
- Maitra, U., Matte, H., Kumar, P., and Rao, C., "Strategies for the Synthesis of Graphene, Graphene Nanoribbons, Nanoscrolls and Related Materials", *Chimia*, Vol. 66, pp. 941-948, 2012.
- Marcano, D.C., Kosynkin, D.V., Berlin, J.M., Sinitskii, A., and Sun, Z., "Improved Synthesis of Graphene Oxide", *ACS NANO*, Vol. 4, pp. 4806-4814, 2010.
- Paredes, J., and Villar Rodil, S., "Atomic Force and Scanning Tunneling Microscopy Imaging of Graphene Nanosheets Derived from Graphite Oxide", *Langmuir*, Vol. 25, pp. 5957-5968, 2009.
- Pumera, M., "Electrochemistry of Graphene,
- Graphene Oxide and other Graphenoids", *Electrochemistry Communications*, Vol. 36, pp. 14-18, 2013.
- Sadasivuni, K.K., Ponnamma, D., Thomas, S., and Grohens, Y., "Evolution from Graphite to Graphene Elastomer Composites", *Progress in Polymer Science*, Vol. 39, pp. 749-780, 2014.
- Salvatierra, R., Domingues, S., Oliveira, M., and Zarbin, A., "Tri-Layer Graphene Films Produced by Mechanochemical Exfoliation of Graphite", *Carbon*, Vol. 57, pp. 410-415, 2013.
- Saner, B., Dinç, F., and Yürüm, Y., "Utilization of Multiple Graphene Nanosheets in Fuel Cells 2.: The Effect of Oxidation Process on the Characteristics of Graphene Nanosheets", *Fuel*, Vol. 90, pp. 2609-2616, 2011.
- Du, W., Jiang, X., and Zhu, L., "From Graphite to Graphene: Direct Liquid-Phase Exfoliation of

- Graphite to Produce Single- and Fewlayered Pristine Graphene”, *Journal of Materials Chemistry A*, Vol. 1, pp. 10592–10606, 2013.
10. Yuan, B., Zeng, X., Xu, C., Liu, L., Ma, Y., Zhang, D., and Fan, Y., “Electrochemical Modification of Graphene Oxide Bearing Different Types of Oxygen Functional Species for the Electro-Catalytic Oxidation of Reduced Glutathione”, *Sensors and Actuators B: Chemical*, Vol. 184, pp. 15-20, 2013.
 11. Alanyalioglu, M., and Segura, J., “The Synthesis of Graphene Sheets with Controlled Thickness and Order Using Surfactant-Assisted Electrochemical Processes”, *Carbon*, Vol. 50, pp. 142-152, 2012.
 12. Sima, M., Enculescu, I., and Sima, A., “Preparation of Graphene and its Application in Dye-Sensitized Solar Cells”, *Optoelectronics and Advanced Materials*, Vol. 5, pp. 414-418, 2011.
 13. Singh, V., Joung, D., Zhai, L., and Das, S., “Graphene Based Materials Past, Present and Future”, *Progress in Materials Science*, Vol. 56, pp. 1178-1271, 2011.
 14. Singh, V., Patra, M., Manoth, M., Gowd, G., Vadera, S., and Kumar, N., “In Situ Synthesis of Graphene Oxide and its Composites with Iron Oxide”, *New Carbon Materials*, Vol. 24, pp. 147-152, 2009.
 15. Su, C., Lu, A., Xu, Y., and Chen, F., “High Quality Thin Graphene Films from Fast Electrochemical Exfoliation”, *ACS NANO*, Vol. 5, pp. 232-2339, 2011.
 16. Sun, L., “Mass Production of Graphene Oxide from Expanded Graphite”, *Materials Letters*, Vol. 109, pp. 207-210, 2013.
 17. Terrones, M., Botello-Méndez, A., Campos-Delgado, J., López-Urias, F., and Vega-Cantú, Y., “Graphene and Graphite Nanoribbons Morphology, Properties, Synthesis, Defects and Applications”, *Nano Today*, Vol. 5, pp. 351-372, 2010.
 18. Yang, H., Hernandez, Y., Schlierf, A., and Felten, A., “A Simple Method for Graphene Production based on Exfoliation of Graphite in Water Using 1-Pyrenesulfonic Acid Sodium Salt”, *Carbon*, Vol. 53, pp. 357-365, 2013.
 19. Yuan, W., Li, B., and Li, L., “A Green Synthetic Approach to Graphene Nanosheets for Hydrogen Adsorption”, *Applied Surface Science*, Vol. 257, pp. 10183-10187, 2011.
 20. Zhang, D., Liu, X., and Wang, X., “Green Synthesis of Graphene Oxide Sheets Decorated by Silver Nanoprisms and their Anti-Bacterial Properties”, *Journal of Inorganic Biochemistry*, Vol. 105, pp. 1181-1186, 2011.
 21. Taheri Najafabadi, A., and Gyenge, E., “High-Yield Graphene Production by Electrochemical Exfoliation of Graphite: Novel Ionic Liquid (IL)-Acetonitrile Electrolyte with Low IL Content”, *Carbon*, Vol. 71, pp. 58-69, 2014.
 22. Zhang, Y., Wang, S., Li, L., Zhang, K., Qiu, J., and Davis, M., “Tuning Electrical Conductivity and Surface Area of Chemically-Exfoliated Graphene through Nanocrystal Functionalization”, *Materials Chemistry and Physics*, Vol. 135, pp. 1057-1063, 2012.
 23. Notley, S.M., “Highly Concentrated Aqueous Suspensions of Graphene through Ultrasonic Exfoliation with Continuous Surfactant Addition”, *Langmuir*, Vol. 28, pp. 14110–14113, 2012.
 24. Zhu, Y., Murali, S., Cai, W., Li, X., Suk, J.W., Potts, J.R., and Ruoff, R.S., “Graphene and Graphene Oxide Synthesis, Properties, and Applications”, *Advanced Materials*, Vol. 22, pp. 3906-3924, 2010.
 25. Bykkam, S., and Thunugunta, T., “Synthesis and Characterization of Graphene Oxide and its Antimicrobial Activity Against Klebsiella and Staphylococcus”, *International Journal of Advanced Biotechnology and Research*, Vol. 4, pp. 142-146, 2013.
 26. Parvez, K., Li, R., Puniredd, S.R., Hernandez, Y., Hinkel, F., and Wang, S., “Electrochemically Exfoliated Graphene as Solution-Processable, Highly Conductive Electrodes for Organic Electronics”, *ACS NANO*, Vol. 7, pp. 3598-3606, 2013.
 27. Morales, G., Schifani, P., and Ellis, G., “High-Quality Few Layer Graphene Produced by Electrochemical Intercalation and Microwave-Assisted Expansion of Graphite”, *Carbon*, Vol. 49, pp. 2809-2816, 2011.
 28. Zhou, M., Tang, J., Cheng, Q., and Xu, G., “Few-Layer Graphene Obtained by Electrochemical Exfoliation of Graphite Cathode”, *Chemical Physics Letters*, Vol. 572, pp. 61-65, 2013.
 29. Li, D., Li, H., Fu, Y., and Zhang, J., “Critical Micelle Concentrations of Cetyltrimethylammonium Chloride and Their Influence on the Periodic Structure of Mesoporous Silica”, *Colloid Journal*, Vol. 70, pp. 747-752, 2008.
 30. Vadukumpilly, S., Paul, J., and Valiyaveettil, S., “Cationic Surfactant Mediated Exfoliation of Graphite into Graphene Flakes”, *Carbon*, Vol. 47, pp. 3288-3294, 2009.
 31. Saner, B., Okyay, F., and Yürüm, Y., “Utilization of Multiple Graphene Layers in Fuel Cells. 1.: An Improved Technique for the Exfoliation of Graphene-Based Nanosheets from Graphite”, *Fuel*, Vol. 89, pp. 1903-1910, 2010.
 32. Sheka, E.F., and Popova, N.A., “Molecular Theory of Graphene Oxide”, *Physical Chemistry Chemical Physics*, Vol. 15, pp. 13304-13322, 2013.
 33. Bai, L., Zhang, D., Xie, W., Zhang, J., and Shen, Z., “A Comparative Study of Electrochemical Performance of Graphene Sheets, Expanded Graphite and Natural Graphite as Anode Materials for Lithium-Ion Batteries”, *Electrochimica Acta*, Vol. 107, pp. 555-561, 2013.

34. Chakrabarti, M.H., Low, C., Brandon, N., Yufit, V., Hashim, M., and Irfan, M., "Progress in the Electrochemical Modification of Graphene-Based Materials and their Applications", *Electrochimica Acta*, Vol. 107, pp. 425-440, 2013.
35. Basu, S., and Bhattacharyya, P., "Recent Developments on Graphene and Graphene Oxide Based Solid State Gas Sensors", *Sensors and Actuators B: Chemical*, Vol. 173, pp. 1-21, 2012.
36. Stankovich, S., Dikin, D.A., Piner, R.D., and Kohlhaas, K.A., "Synthesis of Graphene-Based Nanosheets via Chemical Reduction of Exfoliated Graphite Oxide", *Carbon*, Vol. 45, pp. 1558–1565, 2007.